磁测井在普查勘探磁铁矿矿床中的应用

山东冶金地质勘探一队 于德江 李殿杰

在鲁中地区某些施工的钻孔中,投入了 磁测井工作,现将所取得的效果介绍如下。

寻找盲矿体

在找矿工作中,尽管对地质和地面物探 资料做了充分研究,但由于地质条件复杂, 往往仍不能获得预期效果。其原因可能是布 钻位置不对,钻孔偏离了矿体,或是钻进深 度不够大,或是由于非矿原因的干扰。这时 如果投入磁测井工作,就能取得磁场纵向的 变化规律,再结合地质与地面磁法资料,就可 以尽快地解决上述问题,从而找到盲矿体。

例一 王××异常发现以后,先后向异常的东部和西部开展钻探找矿工作。东部情况较理想,见到矿体,但在西部开头打的两孔 (CK13和CK17) 都打在闪长 岩上,均未见矿。继续布钻感到困难。为此 在CK13和CK17中进行了磁测,所得结果示于图1。

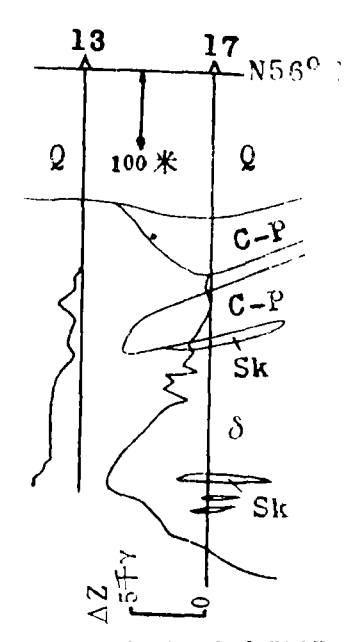


图1 王××矿区13、17孔磁測井曲线 Q一等四系: 8一囚長岩; SK一砂卡岩: C-P一石**炭**二选系

CK13孔的ΔZ曲线表现为梯度缓、呈单 调递减的负异常,由于井深所限,曲线似乎 未做完,在井底的异 常 值为 $\Delta Z = -3500 \gamma$ 。 在CK17孔中测得 "S"型的异常曲线,在井 深580米处出现极**小**值,ΔZmin=-7800γ。 可见在两孔的南侧有盲矿体存在的可能。对 地面8号剖面进行了定量计算,计算结果认 为在CK17之南应存在一个较厚的矿体。为 此、设计了CK5和CK27两孔(图 2)。CK5孔 先竣工,并做了井中磁 测。从 所 得ΔZ曲线 来看,异常上下幅度都宽阔,强度高、正负 极值均大于10000γ。该孔见到厚度不超过19 米的矿, 不可能引起如此强大的异常, 说明 井旁应该还有更大的 矿 体。ΔZ曲线呈反"S" 型,与CK17孔的AZ曲线呈镜像关系。说明 主矿体位于CK5孔以北。在后来峻工的 CK27中见到117.5米厚的矿体,证实了所 作出的推断解释。

例二 王××矿区在施工CK25孔时,钻到555米,已到预计见矿深度,但仍未见矿。为了查明井底有无矿体存在,在该孔中投入了磁测井的工作。获得了一条单调递减的"负开口"ΔZ曲线(图3),在接近非孔终端(555米)时,曲线的梯度变大,强度达一15000γ。异常曲线有显著跳动现象,意味着磁性矿物不均匀。表明再向下不远即可遇见矿体,同时井孔已见到砂卡岩,这是一个很好的找矿标志。根据上述情况,建议继续钻进,结果在557米以下见到厚1.24米的磁铁矿。

例三 在牛×庄岩体与灰岩的接触带上有一磁异常,呈长条状,走向北东,异常强度低, ΔZ_{max} =800 γ (图 4),为了验证该异常,设计了CK-1孔,在160米和350米处分别穿过两个接触带,但没有见矿。投入了磁测井,在相应的接触带以及对应的火成

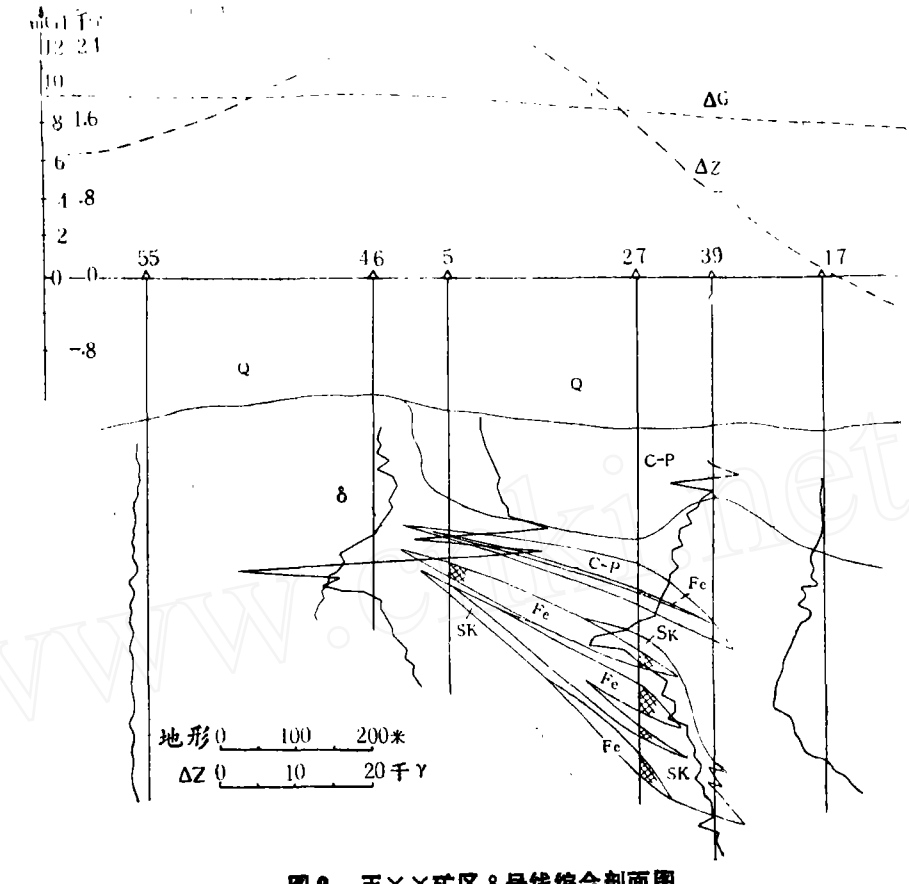


图 2 王××矿区 8 号线综合剖面图 Fe--磁铁矿;其它图例同图 1

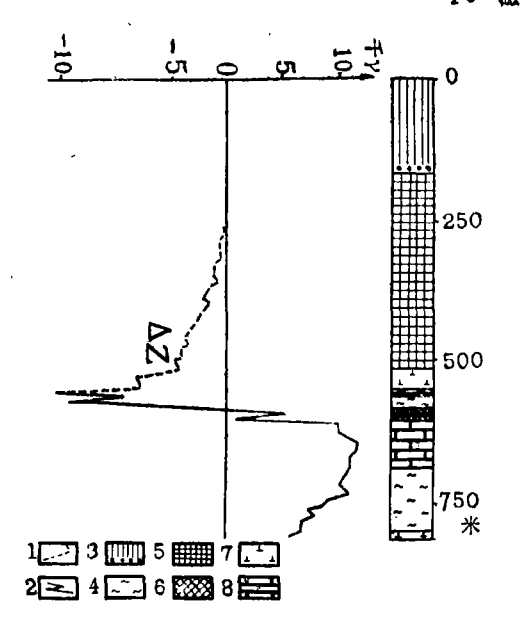


图8 王×**×σ区**CK25**孔磁测井**Δ**Z曲线**; **1-**第一次**则**井曲线; 2 - 第二次**则**井曲线; 3 - 第四纪; 4 - **砂**卡岩; 5 - 角岩; 6 - **磁**铁矿; 7 - **闪**长岩; 8 - 大理岩;

岩中,获得了 $\Delta Z = -2000$ Y的异常,在灰岩里面 ΔZ 平均值为0 Y,对该曲线作出了如下的分析:

(1)钻孔岩心磁参数测定结果: K=1554×10⁻⁶CGSM,

 $J_r = 1425 \times 10^{-6} CGSM_o$

若按 $(-2\pi J_0 \sim -4\pi J_0)$ 这样简单的 关 系来估计,则所产生的磁异常 将为2000 γ ,基本上与实测结果相符。

(2)实测异常范围与岩体基本一致。结合地面磁异常特点和地质条件综合分析,认为地面异常为接触带所引起,所以停止继续钻进。

确定矿体的位置和产状

矿体的形状及其产状可根据矿体内外磁 异常的形态来确定。矿体的形状一 经 确 定 后,即可根据磁异常的形态来确定矿体的大

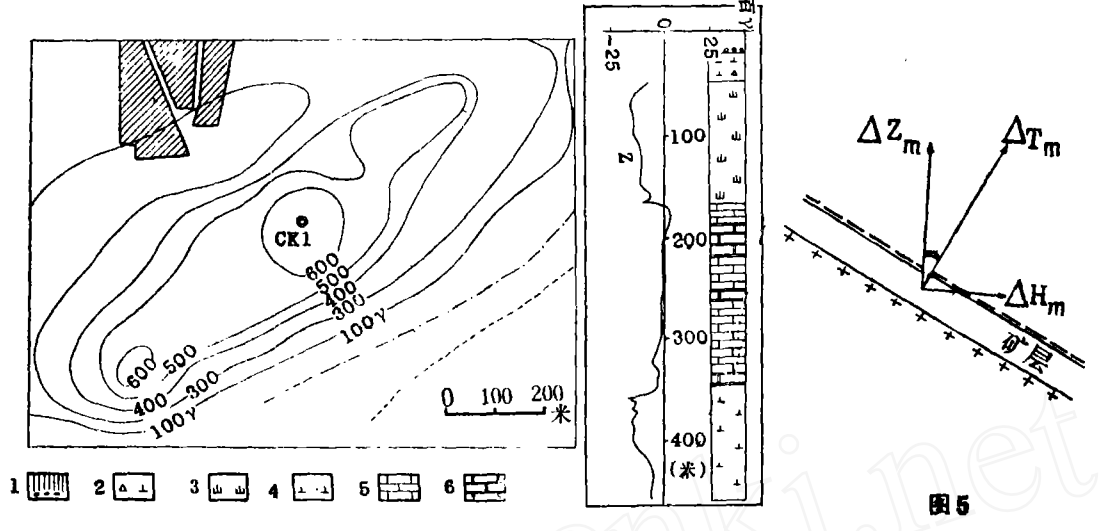


图 4 _ 牛×庄磁异常平面图和CK - 1 孔磁测井曲线

1 一第四系; 2 一风化闪长岩; 3 一蚀变闪长岩; 4 一闪长岩; 5 一灰岩; 6 一大理岩

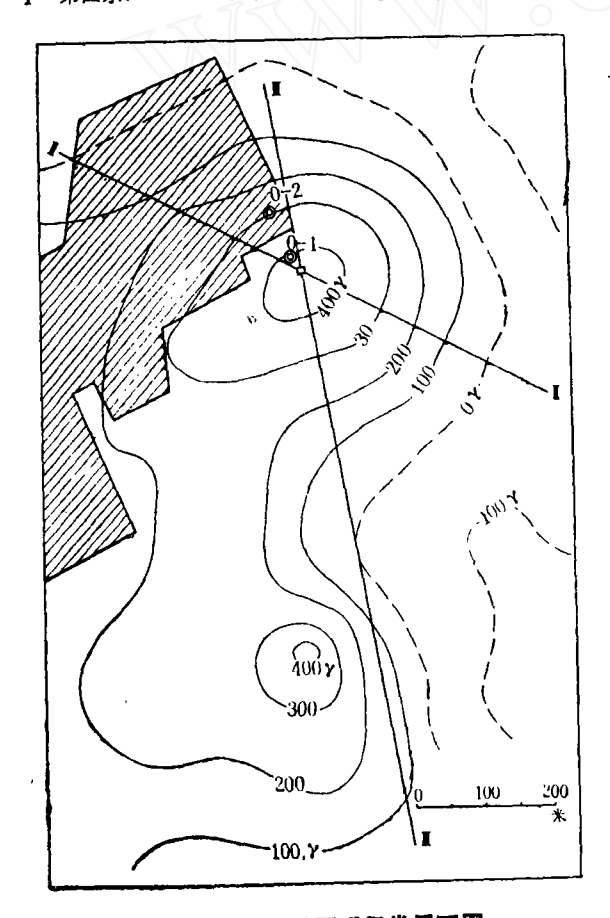


图 6 a ×龙矿区磁异常平面图

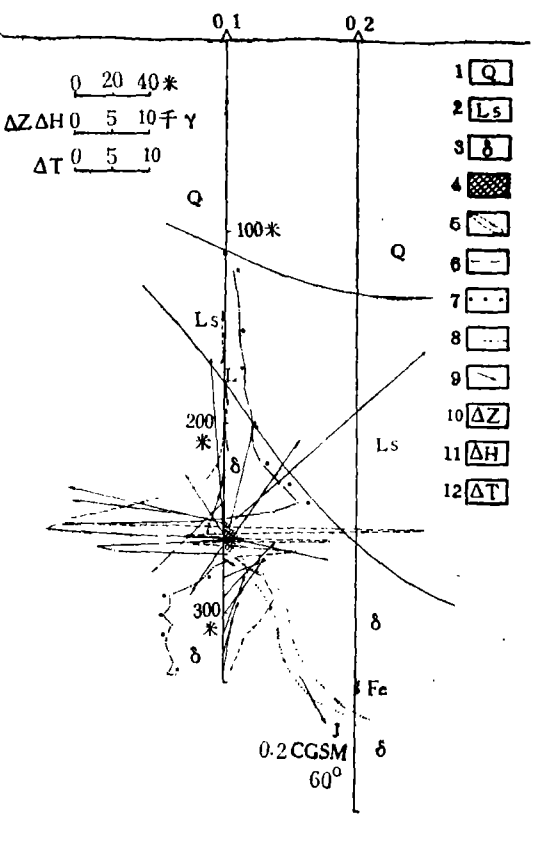


图 6 b

1 一第四系: 2 一灰岩: 3 一闪长岩: 4 一实际矿休: 5 一推断矿体: 6 一实 测 \(\Delta\) Z曲线: 7 一\(\Delta\) Z理论曲线: 8 一 字测 \(\Delta\) H曲线: 9 一 字测 \(\Delta\) T曲线

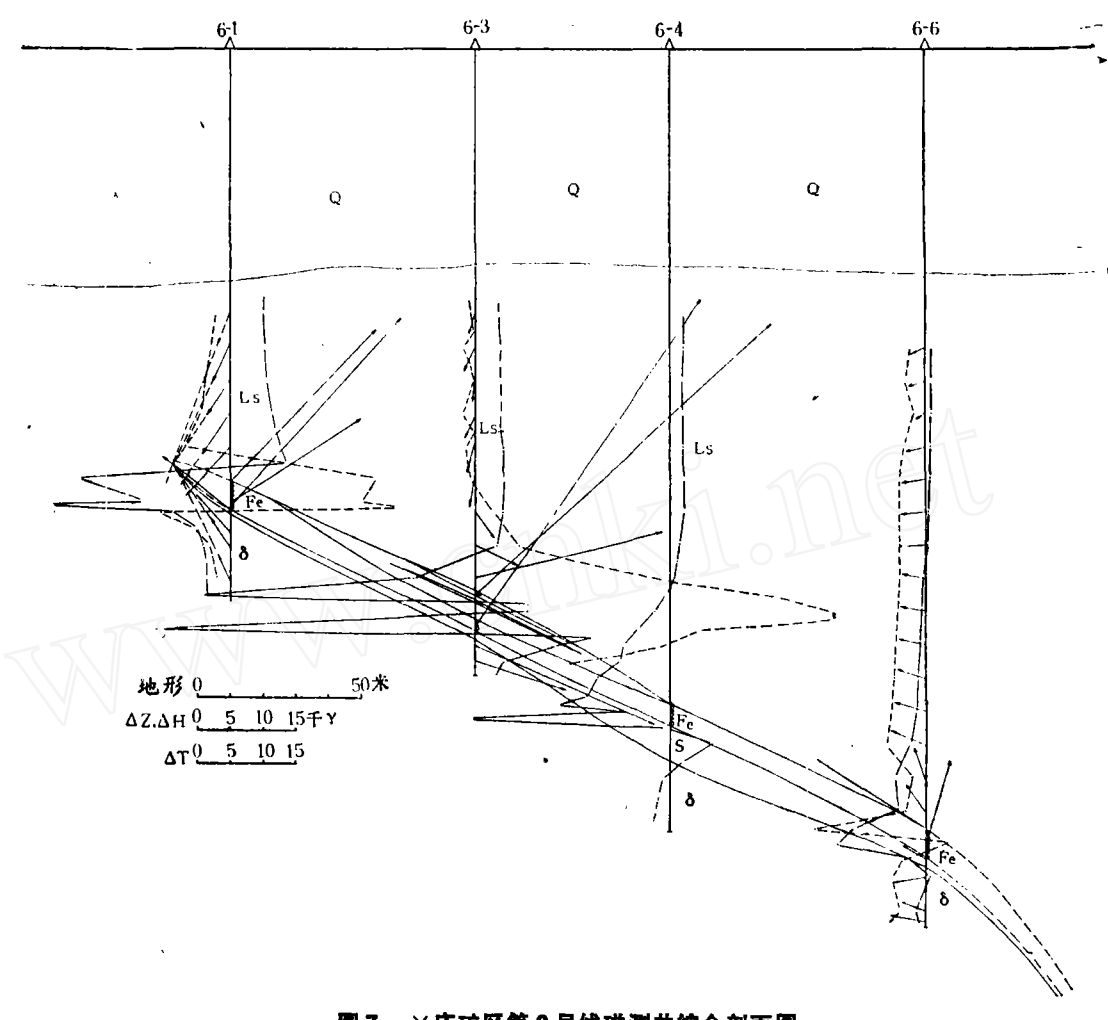


图 7 × 庄矿区第6号线磁测井線合剖面图

Q一第四系: Ls一灰岩; δ 一闪长岩; δ a一蚀变闪长岩; Sk一砂卡岩; Fe一磁铁矿

致产状。这对指导钻孔施工具有一定的意义。

(1)应用外磁场确定产状

如果井中ΔZ曲线呈现上正下负的反"S"型,即表明矿体负磁荷端靠近钻孔,而正磁荷端远离钻孔。一般情况下,矿体赋存于钻孔北(东北、西北)侧。若ΔZ负异常上翼陡,下翼缓,表明矿体倾离钻孔,若ΔZ负异常下翼陡,上翼缓,表明矿体倾向钻孔。

如果ΔZ曲线呈上 负 下 正 的 "S"型, 表明矿体正磁荷端靠近钻孔,而负磁荷端远 离钻孔。一般情况下,矿体赋存于钻孔之南 (东南、西南)侧。若ΔZ负异常上陡下缓, 表明矿体倾离钻孔; 若 ΔZ 负异常上 缓下陡, 表明矿体倾向钻孔。

例如王××庄第8号剖面(图4)CK5孔的ΔZ曲线 很清楚地表明:该孔打在矿头 位置,矿体向北倾斜,而CK17孔的ΔZ曲线 也表明该孔靠近矿体尾端,矿体倾向 该钻孔。这与钻孔揭示的结果相符。

如果 ΔZ 曲线全为负值,而且是 对 称 于 X 轴的 "C"型曲线。则表明矿体 倾角与 其 有效磁倾角成直角。

如果中部为负值,上下均出现正值的双 "S"型的 ΔZ 曲线,表 则此类异常 是 由 双 极引起。此时单凭 ΔZ 曲。线就很难确定其 位 置和产状,必 须 结合 ΔH 和 ΔT 曲线综合分

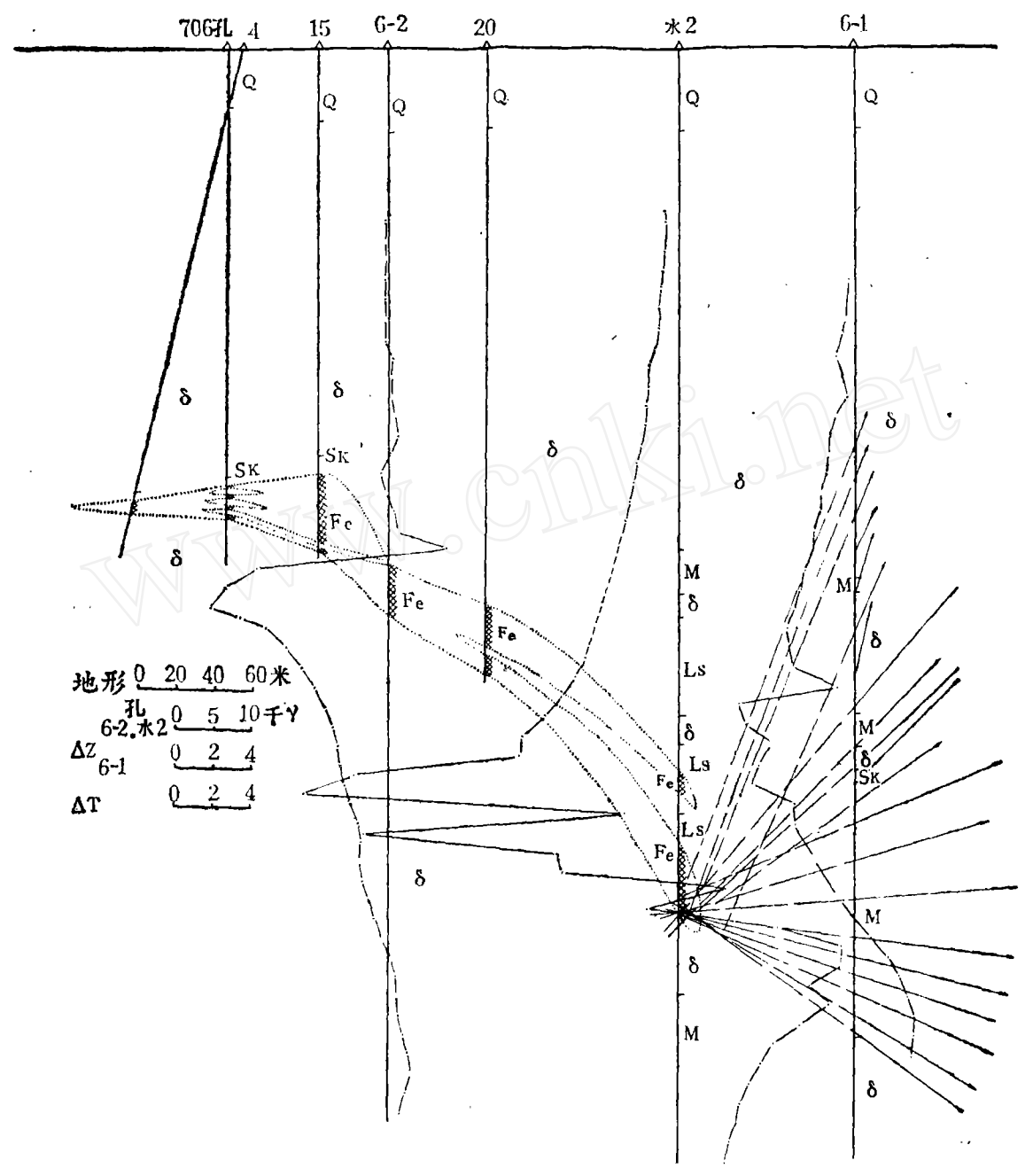


图 8 张××矿区第6号线磁测井综合剖面图 (图例同图7)

析确定。

2.利用内磁场决定矿体产状:

对于以感磁为主,均匀磁化无限延伸的 薄板状矿体,在矿体中部,矿体两端的面磁 荷无影响,在没有其他磁性体干扰时,由于 退磁作用,其内磁 场 \(\Delta \) T 的方向总是垂直于 板面的(图 5)。 因此在剖面内由下式求得矿体在该剖面的倾角 α

$$\alpha = tg^{-1} \frac{\Delta H_m}{\Delta Z_m} \cdots (1)$$

上式中 ΔH_m 与 ΔZ_m 均以绝对值代入来求其倾角,而矿体倾向与 ΔH 矢量方向一致。

但在实际应用中, 应该首先消除干扰场的影 响。

①其它磁性体的磁场在钻孔穿过板状体

前后都是连续的,经过圆滑后即可消除。

②对于钻孔井壁感应磁荷形成 的 附 加 场,可根据下式进行消除。

$$X_{m} = \frac{1 + 2\pi k}{1 + 4\pi k} X_{c}$$

$$Y_{m} = \left(1 - \frac{2\pi k}{1 + 4\pi k} \left(\cos\phi + \frac{Z_{c}}{Y_{c}}\sin\phi\right)\cos\phi\right)Y_{c}$$

$$Z_{m} = \left(1 - \frac{2\pi k}{1 + 4\pi k} \left(\sin\phi + \frac{Y_{c}}{Z_{c}}\cos\phi\right)\sin\phi\right)Z_{c}$$
(2)

其中K =矿体磁化率, $\phi =$ 钻孔顶角。 X_c , Y_c , Z_c 为实测磁场分量。

应用上述关系式,我们对侯×矿体倾角 做了计算,结果(表1)表明,未消除钻孔影 响所计算的倾角值与实际倾角值相差较大。 但消除钻孔影响后,则与实际值相差不多。 产生误差的原因,除仪器本身有误差外,主 要是磁参数测量的精度低。计算时如果采用 各测点的真实磁化率, 误差就可能更小。

为了进一步证实应用内外磁场确定矿体 产状的可靠性性,我们与地质人员一道对× 龙磁异常 (图6a) 进行了综合研究,设计了 CK0-1, 在预计深度见矿13米。经磁 测井 后,根据矿体内磁场的计算与对外部磁异常

形态的分析,认为矿体向北顷,顷角50~ 60°。再用二度量板计算,所推断出来的矿 体截面形状 (图6B) 已为后来施工的CK0-2 孔的钻探结果所证实, 其产状与所推断的 大致相符。

利用外磁场确定矿体边界

在确定矿体边界时, 地质上习 惯 采 川 1/2划分法或自然尖灭法。这样确定的矿体 边界必然对儲量计算带来一定的误差。如果 在边缘钻孔中投入磁测井,通过对磁场特点 的分析和计算,则可以比较客观地确定矿体 的边界,为地质人员进行储量计算提供了有 价值的参考资料。

表 1

| 孔 | 深 | 矿体质角 | 计算矿体倾角(度) | | | | |
|-------|-------|------|------------|---------|------------|---------|-----------------------------|
| | | | 消除钻孔影响 | | 未消除钻孔影响 | | |
| 号 | 度 (米) | (度) | 计算值 (度) | 相 差 (度) | 计算值 (度) | 相 差 (度) | 备 it |
| CK6-1 | 130 | 30 | 30 | 0 | 45 | 15 | 计算时选用平均 磁化率K=0.3 CGSM |
| " | 138 | 30 | 28 | -2 | 42 | 12 | |
| 9A-3 | 180 | 30 | 3 6 | 6 | 50 | 20 | |
| 12-1 | 135 | 31 | 33 | 2 | 48 | 17 | |
| ,, | 137 | 31 | 29 | - 2 | 42 | 11 | |
| ,, | 140 | 31 | 22 | - 9 | 34 | 3 | |
| 10-4 | 195 | 32 | 27 | - 5 | 41 | 9 | |
| 6-3 | 165 | 30 | 33 | 3 | 47 | 17 | |
| ,, | 175 | 30 | 22 | - 8 | 34 | 4 | |
| 4-4 | 290 | 35 | 43 | 8 | 57 | 22 | |

平均品位计算方法的探讨

车 邦 达

矿量平均品位计算方法中的一个 问 题 是: 算术平均品位和加权平均品位相比,哪 一个更接近矿块实际品位。

在单个工程(钻孔、穿脉和沿脉)取样线中,控制矿体厚度的样品长度不等,而且品位又不均匀时,必须按样品长度加权术工程平均品位。只有在样品长度相等或品位均匀时,才能用算术平均法求工程平均品位。这是因为长度不等的样品在见矿工程中所占的分额不一样。

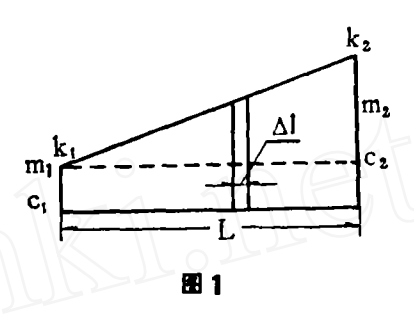
但是在计算矿块品位时,就不能采用加权平均法。因为当采样点之间的厚度和品位呈线性关系、而且厚度与品位有相关关系时,算术平均品位将比加权平均品位更接近实际品位。而当采样点之间的厚度为线性关系,但品位与厚度无相关关系时,就只有用算术平均法才能可靠地求出矿块品位(它的精确度主要取决于样品的数量),而不应当用加权平均法。

下面,我们来分析一下矿块算术平均品位、加权平均品位和实际品位之间的关系。

在图 1 中,对 K_1 、 K_2 两点间的块段来说,

例一 鲁中侯×矿区 6 号线上各个钻孔都投入了磁测井(图 7),在该剖面内的矿体北倾,倾角30°,该矿体经地磁场磁化,再经退磁后,矿体有效磁化倾角与矿体倾角的夹角(γ 角)很小,S磁荷集中分布在矿体的上端,在CK6-1孔中, Δ T很明显地交汇于一点,此 Δ T的收敛点就是矿体上端的位置,该点距钻孔约35米。

例二 济南张××屯矿区第6号剖面上 (图8),磁测井结果在CK6—1孔中出现ΔT的 反向交点(即发散点),也大致指出了矿体尾



算术平均品位
$$C = \frac{c_1 + c_2}{2}$$

式中 c_1 、 c_2 分别为 k_1 、 k_2 两个样品的品位。

加权平均品位
$$C_r = \frac{c_1 m_1 + c_2 m_2}{m_1 + m_2}$$

式中m₁、m₂分别为k₁、k₂ 两个样品的长度 实际品位C可用以下方法求得。

•

设矿块中单位空间△1的品位

$$c = c_1 + \frac{c_2 - c_1}{1}$$

它的厚度
$$m = m_1 + \frac{m_2 - m_1}{L}$$
 1

则矿块实际向位
$$C = -\frac{\int_0^1 \text{ cmd l}}{\frac{m_1 + m_2}{2}}$$

端的位置(该点在CK6-1孔以南80米处)。

在以上两例中,由于磁性体经地磁场磁化,再经退磁后,矿体的有效磁倾角和矿体的倾角的夹角Y都不大,故无需再做矢量 旋转,如果Y角较大,应作矢量旋转,然后 按顺层磁化处理。

以上只是几年来我们工作中的 点 滴 收 获。由于缺少细致总结,加之水平有限,所 谈的也较肤浅,错误和不当之处,请读者批 评指正。